

# Projekt 1B: Fjädringssystem

Simon Sjöling, Ayana Musaev

October 18, 2021

Hos hjuldrivna fordon spelar fjädringssystemet en viktig roll. Projektets syfte är att undersöka hur en förenklad modell av fjädringssystemet, quater car-modellen, varierar beroende på olika numeriska metoder.

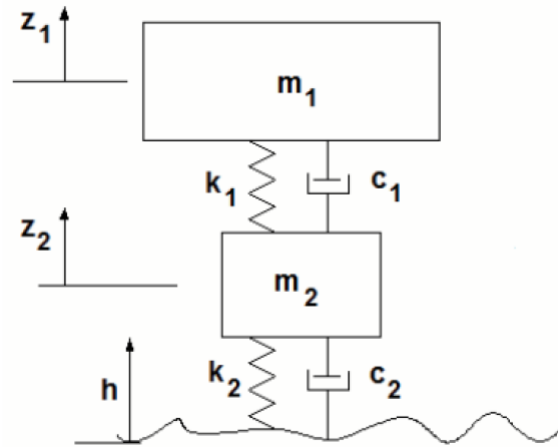


Figure 1: Fjädringssystem i en quater car modell.

Parametrar som tillkommer med laborationslydelsen är:

$m_1$	460 [kg]
$m_2$	60 [kg]
$k_{1,ref}$	5500 [kg/s <sup>2</sup> ]
$k_{2,ref}$	130000 [kg/s <sup>2</sup> ]
$c_1$	300 [kg/s]
$c_2$	1300 [kg/s]
$v$	60/3.6 [m/s]
$H$	0.2 [m]
$L$	1 [m]

## U1.

I denna uppgift skall det rörelseekvationerna för fjäderingsystemet skrivas om så att de går att lösa som ett system av differentialekvationer. På matrisform tecknas följande samband för rörelsen:

$$\mathbf{M}\ddot{\mathbf{q}} + \mathbf{C}\dot{\mathbf{q}} + \mathbf{K}\mathbf{q} = \mathbf{F} \quad (1)$$

med matrisalgebra kan vi lösa ut  $\ddot{\mathbf{q}}$

$$\ddot{\mathbf{q}} = \mathbf{M}^{-1}(\mathbf{F} - \mathbf{C}\dot{\mathbf{q}} - \mathbf{K}\mathbf{q}) \quad (2)$$

vilket utskrivet tar formen

$$\ddot{\mathbf{q}} = \begin{bmatrix} \ddot{z}_1 \\ \ddot{z}_2 \end{bmatrix} = \begin{bmatrix} -\frac{c_1 \dot{z}_1 - c_1 \dot{z}_2 + k_1 z_1 - k_1 z_2}{m_1} \\ \frac{c_2 \dot{h} + c_1 \dot{z}_1 - c_1 \dot{z}_2 - c_2 \dot{z}_2 + k_2 h + k_1 z_1 - k_1 z_2 - k_2 z_2}{m_2} \end{bmatrix} \quad (3)$$

Den formen vi är intresserade av att skriva (1) är:

$$\frac{d\mathbf{v}}{dt} = \mathbf{A}\mathbf{v} + \mathbf{g}(t) \quad (4)$$

För att uppnå detta införs nu variabler så att systemet blir av första ordningen. Vi kan då även teckna  $\mathbf{v}$  och  $\frac{d\mathbf{v}}{dt}$  i termer av substitutionen:

$$\begin{cases} u_1 = z_1 \\ u_2 = \dot{z}_1 \\ \omega_1 = z_2 \\ \omega_2 = \dot{z}_2 \end{cases} \Rightarrow \mathbf{v} = \begin{bmatrix} u_1 \\ \omega_1 \\ u_2 \\ \omega_2 \end{bmatrix} \Rightarrow \frac{d\mathbf{v}}{dt} = \begin{bmatrix} u_2 \\ \omega_2 \\ \dot{u}_2 \\ \dot{\omega}_2 \end{bmatrix} \quad (5)$$

med substitutionen och  $\ddot{\mathbf{q}}$  kan vi teckna  $\frac{d\mathbf{v}}{dt}$

$$\frac{d\mathbf{v}}{dt} = \begin{bmatrix} u_2 \\ \omega_2 \\ -\frac{c_1 \dot{z}_1 - c_1 \dot{z}_2 + k_1 z_1 - k_1 z_2}{m_1} \\ \frac{c_2 \dot{h} + c_1 \dot{z}_1 - c_1 \dot{z}_2 - c_2 \dot{z}_2 + k_2 h + k_1 z_1 - k_1 z_2 - k_2 z_2}{m_2} \end{bmatrix} \quad (6)$$

För att få systemet på formen (4) behöver de termer innehållande element i  $\mathbf{v}$  skrivas på matrisform och de övriga tidsberoende termerna bildar  $\mathbf{g}(t)$ . Resultatet blir följande:

$$\mathbf{A} = \begin{bmatrix} 0 & 0 & 1 & 0 \\ 0 & 0 & 0 & 1 \\ -\frac{k_1}{m_1} & \frac{k_1}{m_1} & -\frac{c_1}{m_1} & \frac{c_1}{m_1} \\ \frac{k_1}{m_2} & -\frac{k_1+k_2}{m_2} & \frac{c_1}{m_2} & -\frac{c_1+c_2}{m_2} \end{bmatrix}, \quad \mathbf{g}(t) = \begin{bmatrix} 0 \\ 0 \\ 0 \\ \frac{c_2 \dot{h} + k_2 h}{m_2} \end{bmatrix} \quad (7)$$

## U2. a)

För denna uppgift har vi skrivit hjälpfunktioner för kod i senare delen av projektet. Dessa funktioner är *roadprofile* som ger profilen hos guppet vid en tid  $t$  och *quartercar* som returnerar systemets (1) tillstånd vid tiden  $t$ , alltså en lösning  $v$ . Se kod i appendix 1.1 och 1.2.

## U2. b) och c)

Uppgiften diskuteras vid kamratåterkoppling. Kod och plottar för b.) återfinns i appendix 1.4 och för c.) i 1.5.

### i.)

Lösningen ses i figur 2. Det maximala utslaget för  $z_1$  och  $z_2$  tillsammans är  $0.186\text{ m}$  och för passagerarna innebär detta att som maximum kommer de att guppa upp ca  $19\text{ cm}$  gentemot vägen. Maximala utslaget är  $0.02\text{ m}$  och  $0.183\text{ m}$  för  $z_1$ , respektive  $z_2$ . Uppgiften diskuteras kamratåterkoppling. Kod återfinns i appendix 1.5.

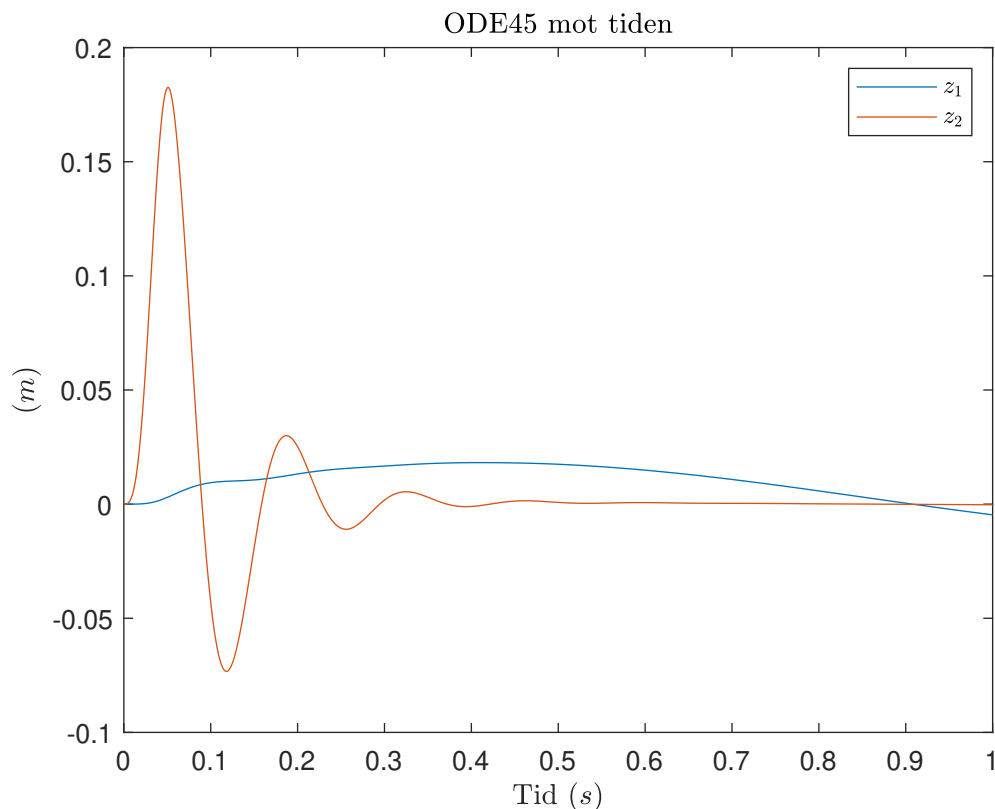


Figure 2: Numerisk lösning för  $z_1$  och  $z_2$  med ODE45 mellan  $t = 0$  och  $t = 1$ . RelTol är satt till  $10^{-6}$ .

ii.)

Vi tolkar nu mängden tidssteg som ODE45-metoden använder vid olika tidpunkter. Det observeras att då funktionen har svängningar med större amplitud, som då  $0 \leq t \leq 0.5$  så används fler steg för att fånga dessa stora rörelser. Vid  $0.5 \leq t \leq 1$  ser man att det används färre steg då funktionen beter sig mer förutsägbart. Se figur 3.

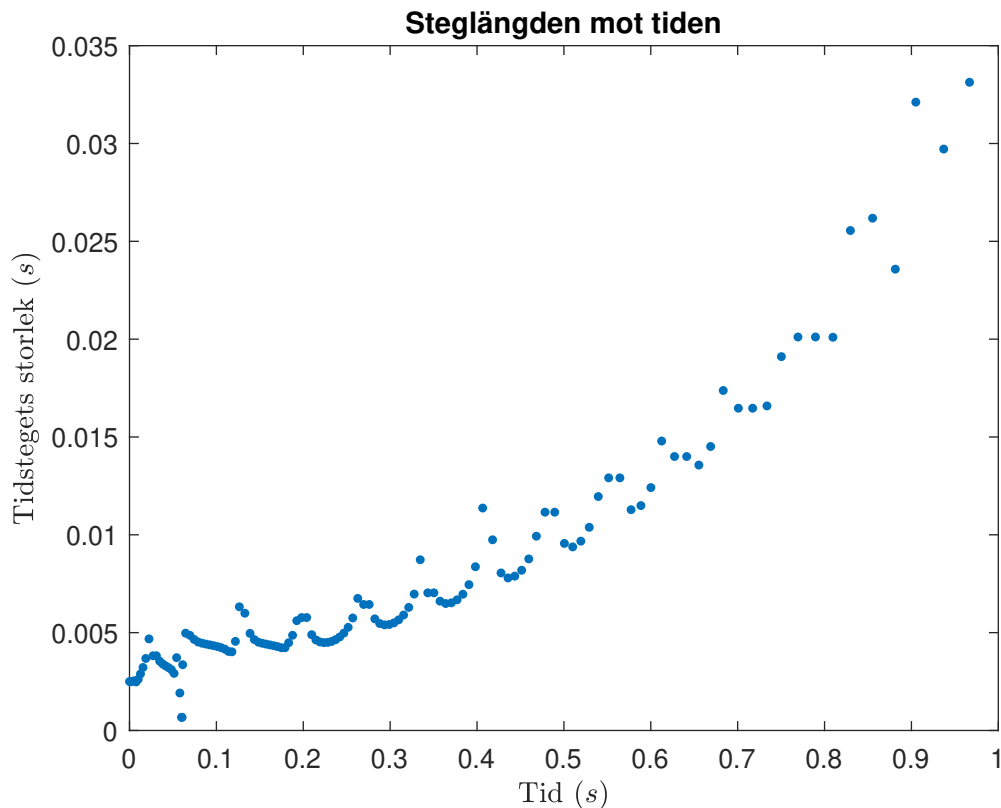


Figure 3: Steglängden till ODE45 mot tiden.

iii.)

Det framkommer genom analys av figur 4 att metoden där tidslängden är mindre ( $\Delta t = 5 \cdot 10^{-4}$ ) följer lösningen för ODE45 bättre och därmed ger en bättre approximativ lösning. Det observeras även att det större tidssteget ( $\Delta t = 5 \cdot 10^{-3}$ ) ger en lösning med sämre stabilitet.

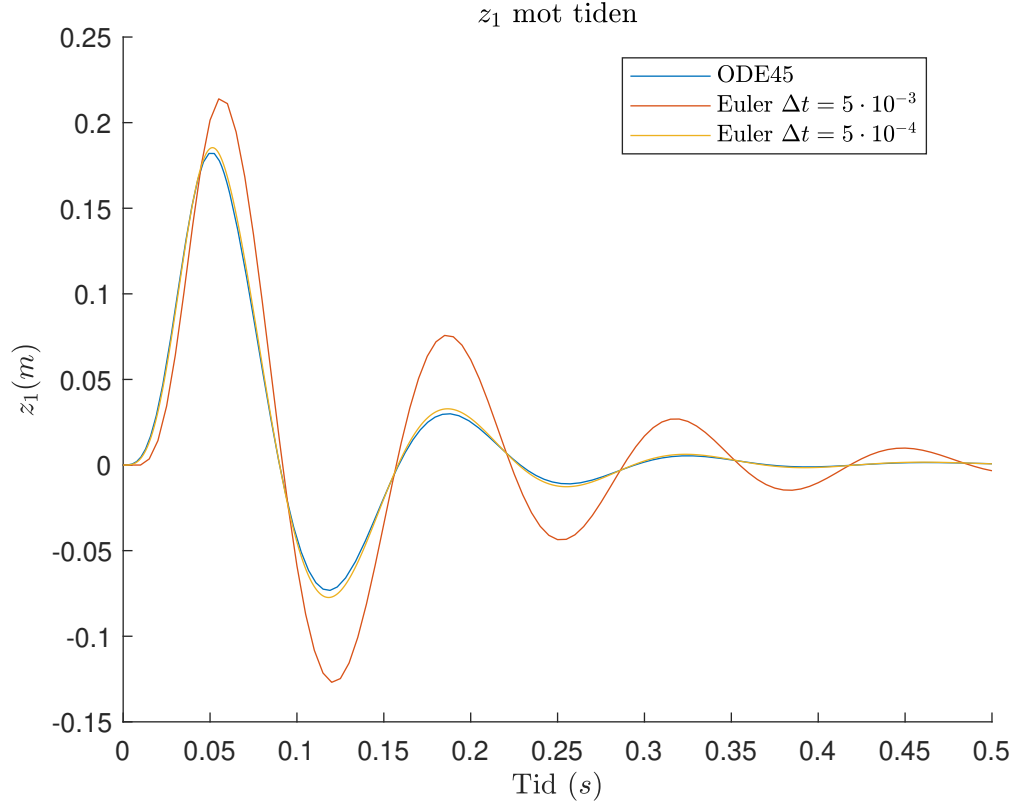


Figure 4: Två lösningar för  $z_1$  med Euler Framåt.

### U3.

För att uppnå största komfort för bilföraren och för passagerarna krävs det att fjädringskonstanterna har olika egenskaper:  $k_1$  är liten, som ger mjuk fjädring, och att  $k_2$  är stor, ger hård fjädring. Detta leder till att ekvationssystemet blir ett styvt system. Styva system fungerar bara upptill ett stabilitetsvillkor för varje numerisk metod, därefter blir lösningen instabil. Ett ännu styvare system används i beräkningen i slutet av uppgiften.

#### i.)

Systemmatrisen  $\mathbf{A}$  antas vara diagonaliserbar med egenvärden  $\lambda_1, \lambda_2, \lambda_3, \lambda_4$ . Här härleds stabilitetsvillkoret för Euler Framåt på formen

$$\Delta t \leq \Delta t_{max} = \min_{1 \leq k \leq 4} F(\lambda_k) \quad (8)$$

Vi inleder med att teckna stabilitetsvillkoret (som kommer från den generella ekvationen för ordinära differentiella ekvationer):

$$|1 + h\lambda| < 1 \quad (9)$$

Då  $\lambda$  är ett komplext tal på formen  $a + bi$  så kan vi försöka få ett villkor för  $h$ :

$$\begin{aligned} |1 + h(a + bi)| &< 1 \\ \Leftrightarrow |1 + h(a + bi)|^2 &< 1^2 \\ \Leftrightarrow a^2 h^2 + 2ah + a^2 h^2 + 1 &< 1 \\ \Leftrightarrow h^2(a^2 + b^2) + 2ah &< 0 \\ \Leftrightarrow h(h(a^2 + b^2) + 2a) &< 0 \end{aligned}$$

När vi ställt upp villkoret på detta sätt så blir det tydligt att det finns två olika villkor till  $h$ :

$$\begin{cases} h < 0 \\ h < -\frac{2a}{a^2+b^2} \end{cases}$$

Dock är  $h < 0$  inte relevant då tidssteget i detta fall alltid skulle vara negativt. Vi kan även se att  $a < 0$  då systemet inte är stabilt annars. Därför har vi nu endast kvar ett villkor,  $F(\lambda)$ , som man kan uttrycka på följande sätt:

$$h < \frac{2|\operatorname{Re}(\lambda)|}{|\lambda|^2} = F(\lambda) \quad (10)$$

ii.)

I denna uppgift tas stabilitetsvillkoret fram för Euler Framåt med de givna numeriska parametrarna. Dessutom tas det fram vad det maximala tidssteget blir om den samtidigt uppfyller villkoret. För egenvärdena  $\lambda_1, \lambda_2, \lambda_3$  och  $\lambda_4$  av systemmatrisen  $\mathbf{A}$  beräknas  $F(\lambda)$ . Det minsta värdet på funktionen som ger stabilitetsvillkoret (10), ger även det största värdet som tidssteget  $h$  kan anta för att vara stabil.

Maximala tidssteget  $t_{max}$  beräknades till värdet 0,0118 s. Se koden i appendix 1.6. Värdet jämföres även med tidssteget som användes i U2.iii:  $\Delta t = 5 \cdot 10^{-3}$ . Detta tidssteg uppfyller stabilitetsvillkoret då den är mindre än  $t_{max}$  och därmed är lösningen stabil.

iii.)

I denna deluppgift används samma kod som i U2 ii men tidssteget är istället  $\Delta t = \alpha \Delta t_{max}$ , där  $\alpha = 0.9, 1, 1.1, 1.5$ . Detta för att se hur mycket hjulet förflyttar sig i vertikalled, beroende på hur steglängderna varierar runt  $\Delta t_{max}$ .

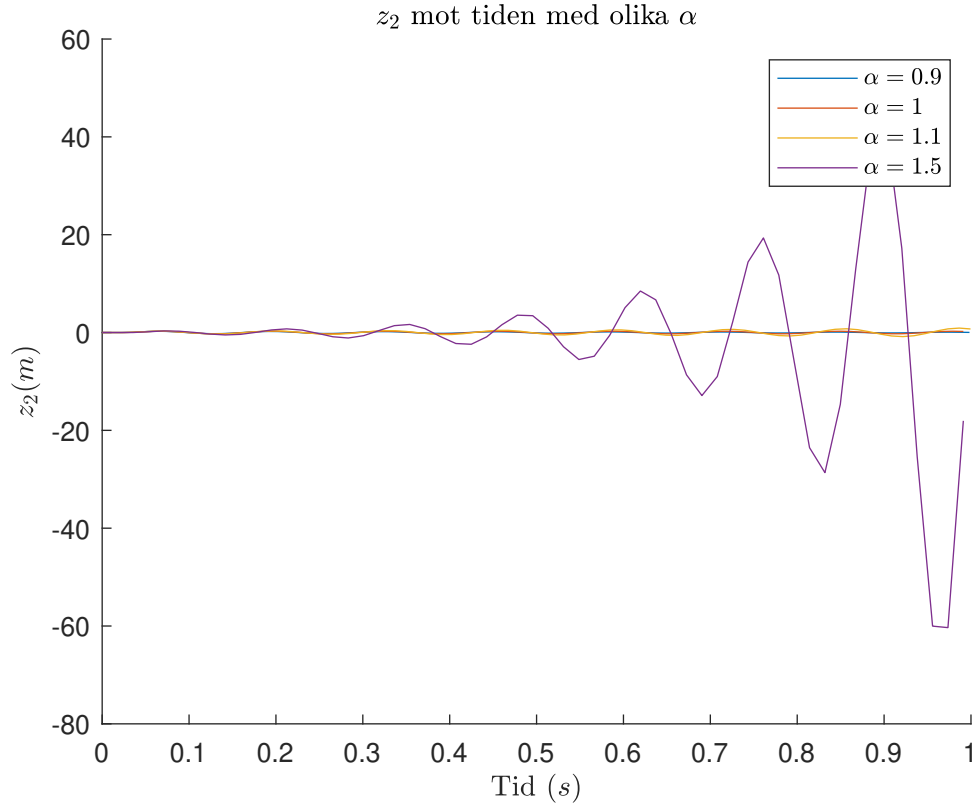


Figure 5:  $z_2$  beräknat för olika  $\alpha$ . Det noteras att  $\alpha = 1.5$  är särskilt instabil.

Här framkommer det att så länge tidssteget håller sig runt, eller helst under tidssteget som stabilitetsvillkoret begär så kommer hjulet att vara stabil mot marken. Om det inte följer den (som vid  $\alpha = 1.5$ ) då fungerar det inte längre att använda Euler Framåt som metod för quater car-modellen. Se kod 1.7 i appendix.

iv.)

Här införes ett nytt  $k_2$  som ger ett styvare system, nämligen  $k_2 = 100 \cdot k_{2,ref}$ . För ett styvare system behövs det räknas ut ett nytt maximalt tidssteg  $\Delta t_{max}$ .

Koden för den beräkningen följer här nedan:

```

1 % Stabilitetsvillkoret
2 F = @(lambda) 2*abs(real(lambda)) / abs(lambda)^2;
3
4 % Berknar egenvärden
5 eigs = eig(A);
6 dts = zeros(length(eigs), 1);
7
8 % Berknar villkor för varje egenvärde och använder sedan det minsta.
9 for i=1:length(eigs)
10     dts(i) = F(eigs(i));
11 end
12 t_max = min(dts);

```

Resultatet av denna beräkning blev för det styva systemet  $\Delta t_{max} = 1.230 \cdot 10^{-4}$ .

## U4.b)

Styvare system används som i uppgift U3.iv men nu används den implicita trapetsmetoden (ITM) som lämpar sig bättre för styva system. Teorin säger generellt att implicita metoder är absolutstabila oavsett värde på tidssteget. ITM har noggrannhetsordning 2 och därmed behövs det inte lika små tidssteg för att uppnå samma noggrannhet som för Euler Framåt (som har noggrannhetsordning 1). Lösningen från ITM ges på formen

$$\mathbf{U}_{i+1} = \mathbf{B}^{-1}(\mathbf{C}\mathbf{U}_{i+1} + \mathbf{f}) \quad (11)$$

där  $\mathbf{B} = \mathbf{I} - \frac{h}{2} \mathbf{A}$ ,  $\mathbf{C} = \mathbf{I} + \frac{h}{2} \mathbf{A}$  och  $\mathbf{f} = \frac{h}{2} (\mathbf{g}(t_i) + \mathbf{g}(t_{i+1}))$ .

Det definieras en egen funktionsfil G.m som ger  $\mathbf{g}(t)$  för ett givet  $t$  för att kunna använda ITM-funktionen för godtyckliga  $\mathbf{g}(t)$  och  $\mathbf{A}$ .

```

1 function res=G(H,L,v,k2,c2,m2,t)
2 % Retunerar G(t) för ett t samt givna parametrar, p vektorform.
3     [h,hdot] = roadprofile(H,L,v,t);
4     res = [0;0;0;(k2*h + c2*hdot)/m2];
5 end

```



ITM.m ser nu ut på följande sätt:

```
1 function [tv, solm]=ITM(A, tv, gfunc, y_0)
2     % Implementering av ITM.
3
4     % Antar konstant tidssteg.
5     h = tv(2) - tv(1);
6     N = length(tv)-1;
7     solm = [y_0 zeros(length(y_0), N)]; % Sätter yv0 som initialvärden.
8
9     % Berknar matriser
10    I = speye(4);
11    B = (I - (h/2) * A);
12    C = (I + (h/2) * A);
13    % Berknar U_i+1 för varje tidssteg.
14    for i = 1:N
15        f = (h/2)*(gfunc(tv(i)) + gfunc(tv(i+1)));
16        solm(:,i+1) = B\(C*solm(:,i) + f);
17    end
18 end
```

i.)

Med det styvare systemet blir stabiliteten hos ITM inte påverkad av steglängden. Om  $\Delta t = \alpha t_{max}$  då  $\alpha = 1, 10, 100$  ses ingen förändring hos stabiliteten. Detta stämmer överens med teorin om att implicita numeriska metoder inte har något stabilitetsvillkor till skillnad från explicita metod som Euler Framåt. Se figur 6 samt koden i appendix 1.9.

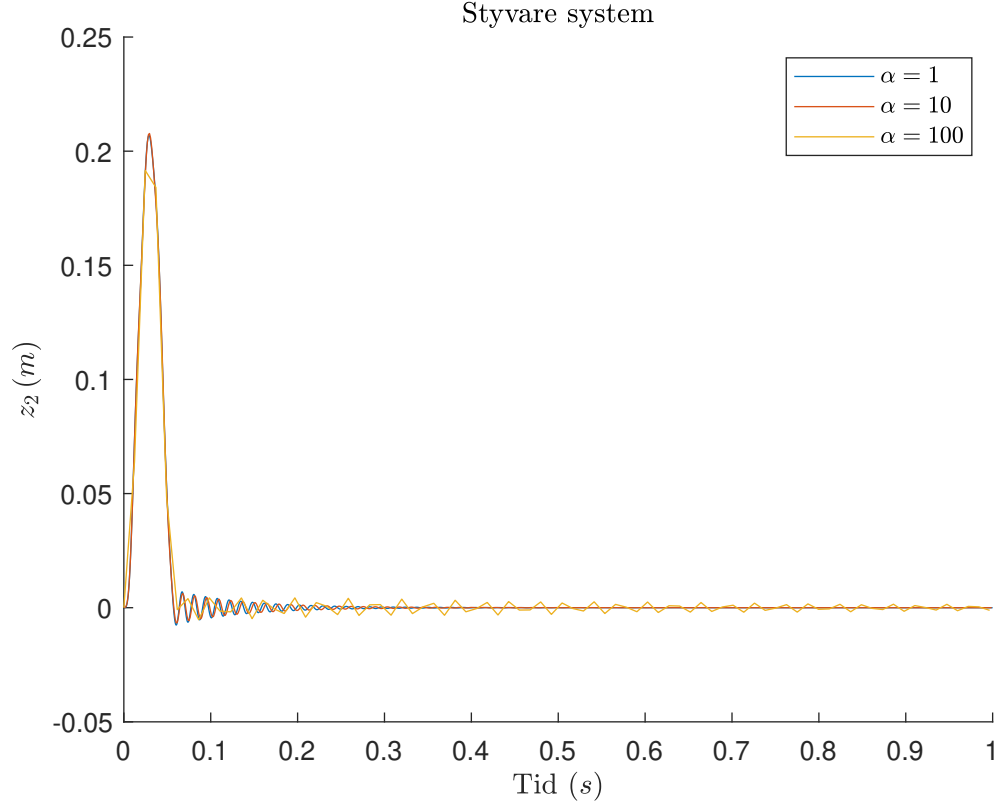


Figure 6:  $z_2$  som representerar hjulet mot tiden.

Maximala tidsteget som det styvare systemet ger är  $t_{max} = 1.23 \cdot 10^{-4}$ .

ii.)

Det gjordes en konvergensstudie för ITM för det styvare systemet. Vi använder ODE45 med en lägre feltolerans (**AbsTol** och **RelTol** satta till  $10^{-9}$ ) som referenslösning. Vi beräknar normen av felet genom att subtrahera referenslösningen med ITM-lösningen och ta fram det största absolutbeloppet av värdena i den resulterade felvektorn.

Normen av felet till komponenten  $z_2$  över tidsintervallet  $0 \leq t \leq 0.05$  blev  $1.70 \cdot 10^{-7}$ . Detta beräknas enligt koden 1.10 i appendix.

Sist tas det fram ett  $\Delta t = \alpha \Delta t_0$  där  $\alpha = 1, 1/2, 1/4$  och  $1/8$ . Felen och noggrannhetsordningen för varje tidssteg beräknas även. Här var det viktigt att  $\Delta t_0$  är tillräckligt liten så att steglängden ryms i tidsintervallet.

Resultatet för felen på varje  $\alpha$ :

$\alpha$	Fel
1/8	$1.826 \cdot 10^{-10}$
1/4	$7.57 \cdot 10^{-10}$
1/2	$3.063 \cdot 10^{-9}$
1	$1.229 \cdot 10^{-8}$

Svaret hittades numeriskt genom att beräknades först en vektor **tv** innehållande det största antalet tidssteg, d.v.s då  $\alpha = 1/8$ . Då  $\alpha = 1/4, 1/2, 1$  så används en delmängd av värdena i tidsvektorn, t.ex. då  $\alpha = 1/4$  används varannan komponent, då  $\alpha = 1/2$  används var fjärde, o.s.v. För varje  $\alpha$  beräknas felet av med referenslösningen. Därefter beräknas noggrannhetsordningen. Implementeringen ser ut på följande sätt:

```

1  % Ber knar tidsvektor
2  tend = 0.05;
3  h = (1/8) * t_0; % F rst f r det minsta v rdet p alpha
4  N = floor(tend/h);
5  tv = h*(0:N); % Ber knar alla tider i tidsspannet.
6
7  % Ber knar referenslsning med ODE45.
8  opts = odeset('RelTol', 1e-9, 'AbsTol', 1e-9);
9  [tvref, yref] = ode45(vfunc, tv, v_0, opts);
10
11 pvec = zeros(1, 4);
12 for n=0:3
13     tvn = tv(1:2^n:end);
14     [~, solm] = ITM(A, tvn, gfunc, v_0);
15     errv = solm(2,:) - yref(1:2^n:end,2); % 2^n ger hur m nga steg som ska tas i
        tidsvektorn.
16     err = max(abs(errv));
17     pvec(4 - n) = err; % Fyller backl nges.
18 end
19 % Ber knar noggrannhetsordning
20 pe10 = log(pvec(1) / pvec(2))/log(2);
21 pe20 = log(pvec(2) / pvec(3))/log(2);
22 pe40 = log(pvec(3) / pvec(4))/log(2);

```

Resultatet för noggrannhetsordningen blir  $pe_{10} = 1.999$ ,  $pe_{20} = 1.997$  och  $pe_{40} = 1.986$ , vilket stämmer överens med det teoretiska värdet som är 2. Se full kod 1.11 i appendix.

# 1 Appendix

## 1.1 roadprofile.m

```
1 function [h,hdot] = roadprofile(H,L,v,t)
2 % Returnerar profilen av v gen f r givna parametrars v rde.
3 if(t <= L/v)
4     h = (H/2)*(1-cos((2*pi*v*t)/L));
5     hdot = (H/2)*(((2*pi*v)/L)*sin((2*pi*v*t)/L));
6 else
7     h = 0;
8     hdot = 0;
9 end
```

## 1.2 quartercar.m

```
1 function dy = quartercar(t,y,A,k2,c2,m2,H,L,v)
2 % Funktionen definierar och returnerar hgerledet i systemet dy/dt = A*y(t) + g(t)
3 [h,hdot] = roadprofile(H,L,v,t);
4 g = [0;0;0;(k2*h + c2*hdot)/m2];
5 dy = A*y + g;
6
7 end
```

## 1.3 EulerF.m

```
1 function [tv, solm]=EulerF(func, h, tspan, yv0)
2     % Implementation av EulerF.
3     N = floor((tspan(2) - tspan(1))/h);
4     solm = [yv0 zeros(length(yv0), N)]; % S tter yv0 som initialvrden.
5     tv = tspan(1)+h*(0:N); % Ber knar alla tider i tidsspannet.
6     % Utf r loopen och ber knar f r varje t i intervallet.
7     for i = 1:N
8         solm(:,i+1) = solm(:,i) + h*func(tv(i), solm(:,i));
9     end
10 end
```

## 1.4 U2\_b.m

```
1  clc, clear
2
3  % Givna systemparametrar.
4  m1 = 460; m2 = 60;
5  k1_ref = 5500; k2_ref = 130000;
6  k1 = k1_ref; k2 = k2_ref;
7  c1 = 300; c2 = 1300;
8  v = (60/3.6);
9  H = 0.2;
10 L = 1;
11
12 % Systemmatrisen
13 A = [0, 0, 1, 0;
14      0, 0, 0, 1;
15      -k1/m1, k1/m1, -c1/m1, c1/m1;
16      k1/m2, -(k1 + k2)/m2, c1/m2, -(c1 + c2)/m2
17      ];
18 % Initialvillkor
19 v_0 = [0;0;0;0];
20 % Tidesteget
21 dt = 5*10^-4;
22
23 % En anonym funktion som bara r beroende av t. Detta r n dv ndigt
24 vfunc = @(t, y) quartercar(t,y,A,k2,c2,m2,H,L,v);
25 [tv, solm] = EulerF(vfunc, dt,[0, 1], v_0); % Se EulerF.m f r lsningsmetod.
26
27 % Plottar nu l sning av z_1 och z_2 fr n lsningsmatrisen.
28 plot(tv, solm(1:2,:))
29 legend(['$z_1$', '$z_2$', '$\dot{z}_1$', '$\dot{z}_2$'],'Interpreter','latex')
30
31 title('EulerF med $\Delta t = $' + num2str(dt) + ' mot tiden','Interpreter','latex');
32 legend(['$z_1$', '$z_2$'],'Interpreter','latex');
33 xlabel('Tid $(s)$','Interpreter','latex');
34 ylabel('$(m)$','Interpreter','latex');
35 saveas(gcf,'plot_U2_c','epsc');
```

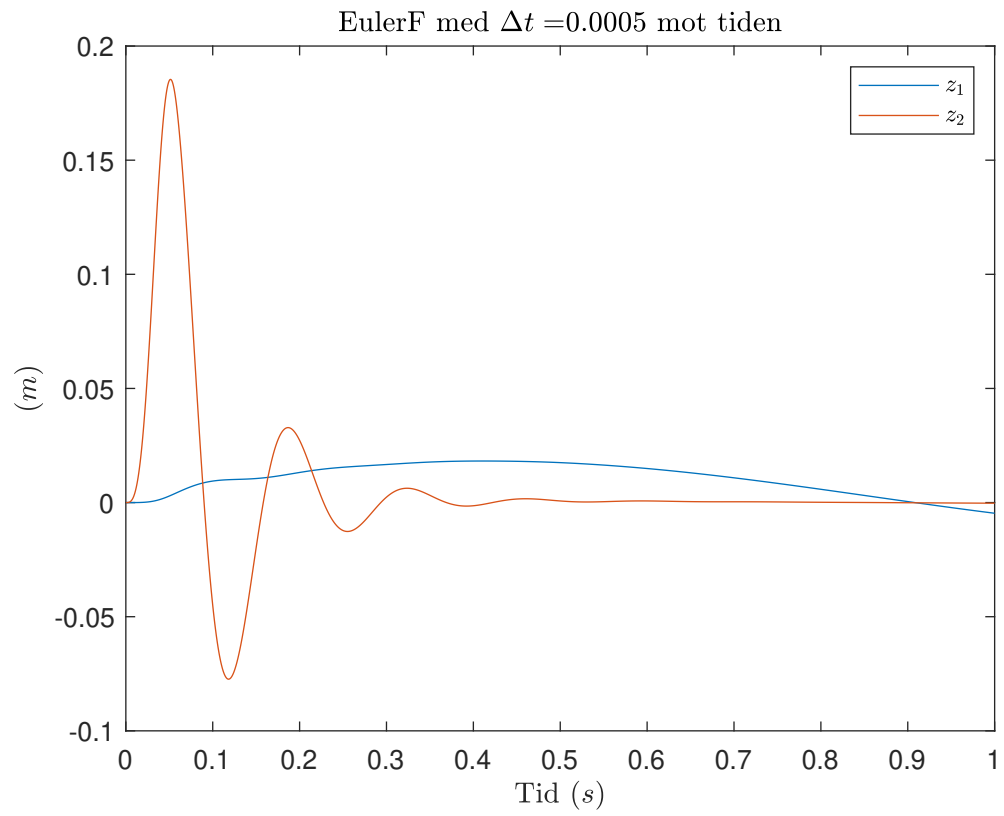


Figure 7: Numerisk lösning för  $z_1$  och  $z_2$  med Euler framåt mellan  $t = 0$  och  $t = 1$ .

## 1.5 U2 c.) och U3 c.) i.)

```
1 clc, clear
2 % Givna systemparametrar.
3 m1 = 460; m2 = 60;
4 k1_ref = 5500; k2_ref = 130000;
5 k1 = k1_ref; k2 = k2_ref;
6 c1 = 300; c2 = 1300;
7 v = (60/3.6);
8 H = 0.2;
9 L = 1;
10
11 % Systemmatrisen
12 A = [0, 0, 1, 0;
13       0, 0, 0, 1;
14       -k1/m1, k1/m1, -c1/m1, c1/m1;
15       k1/m2, -(k1 + k2)/m2, c1/m2, -(c1 + c2)/m2
16       ];
17 % Initialvillkor
18 v_0 = [0;0;0;0];
19 % Tidsteget
20 dt = 5*10^-4;
21
22 % En anonym funktion som bara r beroende av t. Detta r n dv ndigt
23 vfunc = @(t, y) quartercar(t,y,A,k2,c2,m2,H,L,v);
24
25 opts = odeset('RelTol', 1e-6);
26 [tv, solm] = ode45(vfunc, [0, 1], v_0, opts);
27 plot(tv, solm(:,1:2));
28
29 % Printar maxv rdet f r z_1 och z_2
30 fprintf('Maxv rde f r z_1: %d \n Maxv rde f r z_2: %d', max(solm(:,1)), max(solm
   (:,2)));
31
32 title('ODE45 mot tiden','Interpreter','latex');
33 legend(['$z_1$', '$z_2$'],'Interpreter','latex');
34 xlabel('Tid $(s)$','Interpreter','latex');
35 ylabel('$(m)$','Interpreter','latex');
```

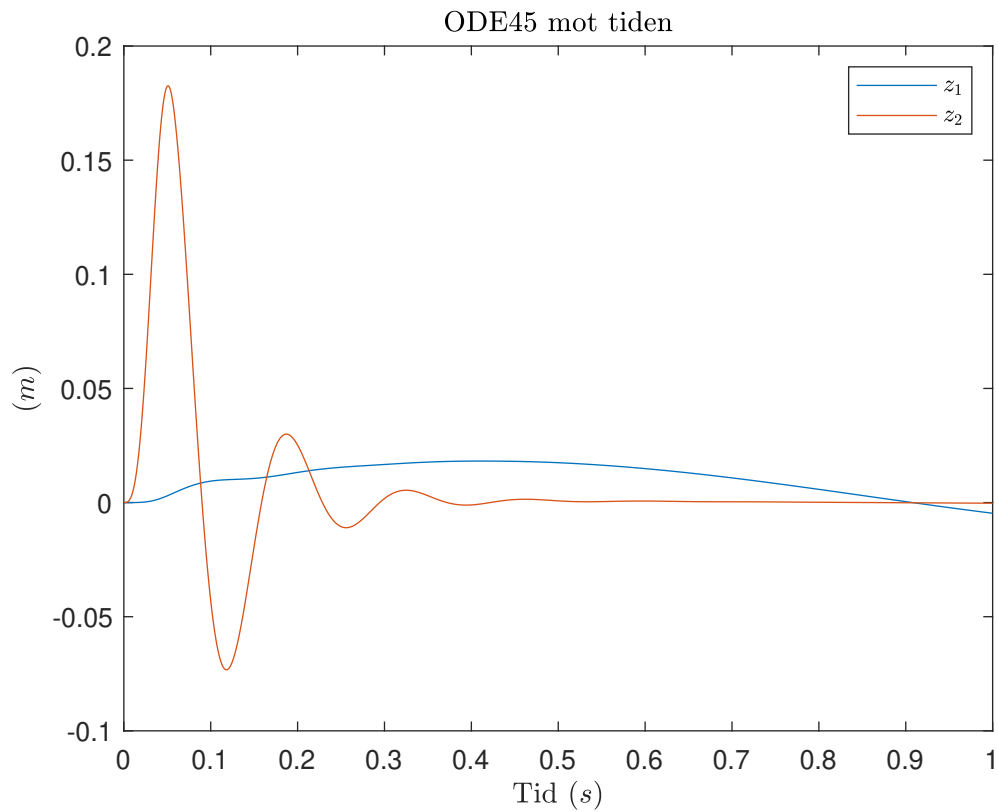


Figure 8: Numerisk lösning för  $z_1$  och  $z_2$  med ODE45 framåt mellan  $t = 0$  och  $t = 1$ .

## 1.6 U3\_ii.m

```

1  clc, clear
2
3  % Givna systemparametrar.
4  m1 = 460; m2 = 60;
5  k1_ref = 5500; k2_ref = 130000;
6  k1 = k1_ref; k2 = k2_ref;
7  c1 = 300; c2 = 1300;
8  v = (60/3.6);
9  H = 0.2;
10 L = 1;
11
12 % Systemmatrisen
13 A = [0, 0, 1, 0;
14       0, 0, 0, 1;
15       -k1/m1, k1/m1, -c1/m1, c1/m1;

```



```

16     k1/m2, -(k1 + k2)/m2, c1/m2, -(c1 + c2)/m2
17     ];
18 % Framtaget stabilitetsvillkor.
19 F = @(lambda) 2*abs(real(lambda)) / abs(lambda)^2;
20
21 eigs = eig(A);
22 dts = zeros(length(eigs), 1); % Array av värden med F(lambda) för olika egenvärden.
23 for i=1:length(eigs) % Värderar F för varje egenvärde.
24     dts(i) = F(eigs(i));
25 end
26
27 % Sätter de minsta värdet till t_max.
28 t_max = min(dts);
29
30 fprintf('T_max = %d', t_max);

```

## 1.7 U3\_iii.m

```

1 clc, clear
2
3 % Givna systemparametrar.
4 m1 = 460; m2 = 60;
5 k1_ref = 5500; k2_ref = 130000;
6 k1 = k1_ref; k2 = k2_ref;
7 c1 = 300; c2 = 1300;
8 v = (60/3.6);
9 H = 0.2;
10 L = 1;
11
12 % Systemmatrisen
13 A = [0, 0, 1, 0;
14     0, 0, 0, 1;
15     -k1/m1, k1/m1, -c1/m1, c1/m1;
16     k1/m2, -(k1 + k2)/m2, c1/m2, -(c1 + c2)/m2
17     ];
18
19 % Berknar t_max
20 % Framtaget stabilitetsvillkor.

```

```

21 F = @(lambda) 2*abs(real(lambda)) / abs(lambda)^2;
22
23 eigs = eig(A);
24 dts = zeros(length(eigs), 1);
25 for i=1:length(eigs)
26     dts(i) = F(eigs(i));
27 end
28
29 t_max = min(dts);
30 dt = t_max * 0.1;
31
32 % Initialvilkor
33 v_0 = [0;0;0;0];
34
35 tspan = [0, 1];
36 % Anonym funktion som kan anv ndas av Euler-metoden.
37 vfunc = @(t, y) quartercar(t,y,A,k2,c2,m2,H,L,v);
38 %
39 [tv, solm] = EulerF(vfunc, dt, tspan, v_0);
40 plot(tv, solm(1:2,:));
41 title_str = 'Styvare system med  $\Delta t = 0.1 \cdot t_{\max} =$ ' + num2str(dt) + '
     $\backslash, s$';
42 legend([' $z_1$' , ' $z_2$'], 'Interpreter', 'latex');
43 title(title_str, 'Interpreter', 'latex');
44 xlabel('Tid  $(s)$', 'Interpreter', 'latex');
45 ylabel(' $z_1 / z_2 \backslash, (m)$', 'Interpreter', 'latex');$$$$$ 
```

## 1.8 U3\_iv.m

```
1  clc, clear
2
3  % Givna systemparametrar.
4  m1 = 460; m2 = 60;
5  k1_ref = 5500; k2_ref = 130000;
6  k1 = k1_ref; k2 = k2_ref;
7  c1 = 300; c2 = 1300;
8  v = (60/3.6);
9  H = 0.2;
10 L = 1;
11
12 % Systemmatrisen
13 A = [0, 0, 1, 0;
14      0, 0, 0, 1;
15      -k1/m1, k1/m1, -c1/m1, c1/m1;
16      k1/m2, -(k1 + k2)/m2, c1/m2, -(c1 + c2)/m2
17      ];
18
19 % Ber knar t_max
20 % Framtaget stabilitetsvillkor.
21 F = @(lambda) 2*abs(real(lambda)) / abs(lambda)^2;
22
23 eigs = eig(A);
24 dts = zeros(length(eigs), 1);
25 for i=1:length(eigs)
26     dts(i) = F(eigs(i));
27 end
28
29 t_max = min(dts);
30 dt = t_max * 0.1;
31
32 % Initialvillkor
33 v_0 = [0;0;0;0];
34
35 tspan = [0, 1];
36 % Anonym funktion som kan anvandas av Euler-metoden.
37 vfunc = @(t, y) quartercar(t,y,A,k2,c2,m2,H,L,v);
```

```

38 %
39 [tv, solm] = EulerF(vfunc, dt, tspan, v_0);
40 plot(tv, solm(1:2,:));
41 title_str = 'Styvare system med  $\Delta t = 0.1 \cdot t_{\max} =$  $' + num2str(dt) + '
    $\\,s$';
42 legend(['$z_1$', '$z_2$'], 'Interpreter', 'latex');
43 title(title_str, 'Interpreter', 'latex');
44 xlabel('Tid $(s)$', 'Interpreter', 'latex');
45 ylabel('$z_1 / z_2 \setminus (m)$', 'Interpreter', 'latex');

```

## 1.9 U4\_b\_i.m

```

1 clc, clear
2
3 % Givna systemparametrar.
4 m1 = 460; m2 = 60;
5 k1_ref = 5500; k2_ref = 130000;
6 k1 = k1_ref; k2 = k2_ref;
7 c1 = 300; c2 = 1300;
8 v = (60/3.6);
9 H = 0.2;
10 L = 1;
11
12 % Systemmatrisen
13 A = [0, 0, 1, 0;
14      0, 0, 0, 1;
15      -k1/m1, k1/m1, -c1/m1, c1/m1;
16      k1/m2, -(k1 + k2)/m2, c1/m2, -(c1 + c2)/m2
17      ];
18
19 % Initialvilkor
20 v_0 = [0;0;0;0];
21
22 gfunc = @(t) G(H,L,v,k2,c2,m2,t);
23
24 % Functionen f r ODE45
25 vfunc = @(t, y) quartercar(t,y,A,k2,c2,m2,H,L,v);
26

```

```

27 % Ber knar t_max
28 % Framtaget stabilitetsvillkor.
29 F = @(lambda) 2*abs(real(lambda)) / abs(lambda)^2;
30
31 eigs = eig(A);
32 dts = zeros(length(eigs), 1);
33 for i=1:length(eigs)
34     dts(i) = F(eigs(i));
35 end
36
37 t_max = min(dts);
38 fprintf('T_max: %d', t_max);
39 % Implementation av implicita trapetsmetoden.
40 tspan = [0, 1];
41
42 alpha_vals = [1, 10, 100];
43
44 hold on;
45 for n=1:length(alpha_vals)
46     h = alpha_vals(n) * t_max;
47     N = floor((tspan(2) - tspan(1))/h);
48     tv = tspan(1)+h*(0:N); % Ber knar alla tider i tidsspannet.
49
50     % Anv nder ITM-funktionen.
51     [tv, solm] = ITM(A,tv,gfunc,v_0);
52
53     plot(tv, solm(1,:));
54 end
55
56 legend(['$\alpha = 1$', '$\alpha = 10$', '$\alpha = 100$', 'ODE45'],'Interpreter','
        latex');
57 title_str = 'Styvare system med $t_{max} = $' + num2str(t_max) + '$\,s$';
58 title(title_str, 'Interpreter','latex');
59 xlabel('Tid $(s)$','Interpreter','latex');
60 ylabel('$z_2 \, , \, (m)$','Interpreter','latex');

```

## 1.10 U4\_b\_ii.m

```
1  clc, clear
2
3  % Givna systemparametrar.
4  m1 = 460; m2 = 60;
5  k1_ref = 5500; k2_ref = 130000;
6  k1 = k1_ref; k2 = k2_ref;
7  c1 = 300; c2 = 1300;
8  v = (60/3.6);
9  H = 0.2;
10 L = 1;
11
12 % Systemmatrisen
13 A = [0, 0, 1, 0;
14      0, 0, 0, 1;
15      -k1/m1, k1/m1, -c1/m1, c1/m1;
16      k1/m2, -(k1 + k2)/m2, c1/m2, -(c1 + c2)/m2
17      ];
18
19 % Initialvilkor
20 v_0 = [0;0;0;0];
21
22 gfunc = @(t) G(H,L,v,k2,c2,m2,t);
23
24 % Functionen f r ODE45
25 vfunc = @(t, y) quartercar(t,y,A,k2,c2,m2,H,L,v);
26
27 % Ber knar t_max
28 % Framtaget stabilitetsvillkor.
29 F = @(lambda) 2*abs(real(lambda)) / abs(lambda)^2;
30
31 eigs = eig(A);
32 dts = zeros(length(eigs), 1);
33 for i=1:length(eigs)
34     dts(i) = F(eigs(i));
35 end
36
37 t_0 = min(dts);
```

```

38
39 % Ber knar tidsvektor
40 tend = 0.05;
41 h = 0.1 * t_0;
42 N = floor(tend/h);
43 tv = h*(0:N); % Ber knar alla tider i tidsspannet.
44
45 % Ber knar referenslsning med ODE45.
46 opts = odeset('RelTol', 1e-9, 'AbsTol', 1e-9);
47 [tvref, yref] = ode45(vfunc, tv, v_0, opts);
48
49 % Ber knar med ITM.
50 [tv, solm] = ITM(A,tv,gfunc,v_0);
51
52 % Normen av felet tas nu fram nu.
53 errvec = solm(2,:) - yref(:,2);
54 err = max(abs(errvec));
55 disp(err);

```

## 1.11 U4\_b\_ii\_2.m

```

1 % Givna systemparametrar.
2 m1 = 460; m2 = 60;
3 k1_ref = 5500; k2_ref = 130000;
4 k1 = k1_ref; k2 = k2_ref;
5 c1 = 300; c2 = 1300;
6 v = (60/3.6);
7 H = 0.2;
8 L = 1;
9
10 % Systemmatrisen
11 A = [0, 0, 1, 0;
12      0, 0, 0, 1;
13      -k1/m1, k1/m1, -c1/m1, c1/m1;
14      k1/m2, -(k1 + k2)/m2, c1/m2, -(c1 + c2)/m2
15      ];
16
17 % Initialvilkor

```

```

18 v_0 = [0;0;0;0];
19
20 % Anonym funktion som returnerar g(t) f r ett t.
21 % G r s att inte samtliga parametrar m ste skickas med manuellt vid varje anrop.
22 gfunc = @(t) G(H,L,v,k2,c2,m2,t);
23
24 % Functionen f r ODE45
25 vfunc = @(t, y) quartercar(t,y,A,k2,c2,m2,H,L,v);
26
27 % Ber knar t_max
28 % Framtaget stabilitetsvillkor.
29 F = @(lambda) 2*abs(real(lambda)) / abs(lambda)^2;
30
31 eigs = eig(A);
32 dts = zeros(length(eigs), 1);
33 for i=1:length(eigs)
34     dts(i) = F(eigs(i));
35 end
36
37 t_0 = 10^-5;
38
39 % Ber knar tidsvektor
40 tend = 0.05;
41 h = (1/8) * t_0; % F rst f r det minsta v rdet p alpha
42 N = floor(tend/h);
43 tv = h*(0:N); % Ber knar alla tider i tidsspannet.
44
45 % Ber knar referensl sning med ODE45.
46 opts = odeset('RelTol', 1e-9, 'AbsTol', 1e-9);
47 [tvref, yref] = ode45(vfunc, tv, v_0, opts);
48
49 pvec = zeros(1, 4);
50 for n=0:3
51     tvn = tv(1:2^n:end);
52     [~, solm] = ITM(A, tvn, gfunc, v_0);
53     errv = solm(2,:) - yref(1:2^n:end,2); % 2^n ger hur m nga steg som ska tas i
        tidsvektorn.
54     err = max(abs(errv));

```



```

55     pvec(4 - n) = err; % Fyller backl nges.
56 end
57
58 % Ber knar noggrannhetsordning
59 pe10 = log(pvec(1) / pvec(2))/log(2);
60 pe20 = log(pvec(2) / pvec(3))/log(2);
61 pe40 = log(pvec(3) / pvec(4))/log(2);
62
63 fprintf('alpha=1/8: %d \n alpha=1/4: %d \n alpha=1/2: %d \n alpha=1: %d \n', pvec(1),
        pvec(2), pvec(3));
64 fprintf('pe10: %d \n pe20: %d \n pe40: %d \n', pe10, pe20, pe40);

```